

Н. Ахлошин В. К. Электрификация обогатительных фабрик... М.

Поступила в редакцию 17.02.84.

УДК 622.75.01.5

В. Г. САМОЙЛИК, Ю. Д. АРИНЕНКОВ, канд. техн. наук

Моделирование процессов гравитационного обогащения углей шахты «Инскай»

Таблица 1

Класс 1—13 мм			
Плотность фракций, кг/м ³	Выход, %	Зольность, %	Сера, %
Менее 1300	23,10/35,27	2,42/2,33	0,68/0,61
1300...1400	1,55/3,16	6,42/6,16	0,68/0,57
1400...1500	0,31/0,54	17,77/17,36	0,69/0,63
1500...1600	24,97/26,58	0,68/0,58	
1600...1800	0,25/0,44	47,87/42,08	0,70/0,61
Более 1800,	1,65/2,69	86,0/80,38	0,84/0,68

Приимечание. В числителе приведены данные для класса крупности +13 мм, в знаменателе — для 1—13 мм.

На основании данных полученных практических балансов построены кривые зависимости выхода и зольности концентрата от элементарной зольности разделения (рисунок) для каждой технологической операции. Анализ кривых показал, что для выражения

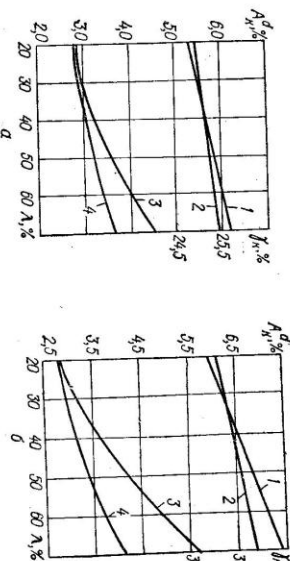
сырьевой базы шахты «Инскай» Кузнецкого бассейна составляют основу восибирск, предназначенный для транспортирования в высоконапряженной водогуттальной суспензии [ВВУС]. При концентрации твердой фазы 63—75 % ВВУС обладает способностью эффективно транспортироваться и сжигаться в топках котлов подобно жидким нефтепродуктам.

Технологические свойства водогуттальной суспензии во многом определяются качеством ее твердой фазы. Слижение содержания минеральных примесей улучшает реологические параметры нового вида топлива, повышает его калорийность. Однако увеличение степени обеззоливания связано с возрастанием затрат на обогащение угля. Оптимальный уровень зольности твердой фазы находится в каждом конкретном случае на основании анализа сырьевой базы и сопоставления затрат, связанных с приготовлением, транспортированием и сжиганием ВВУС с различным содержанием минеральных компонентов.

Поиск оптимума предполагает наличие функциональной зависимости между всеми видами затрат и зольностью твердой фазы ВВУС. Авторы разработали математические модели различных технологических схем гравитационного обогащения, позволяющие установить данную зависимость применительно к процессу приготовления нового вида топлива. Рассмотрено четыре варианта схем обогащения, отличающихся по эксплуатационным и капитальным затратам, а также по своим технологическим возможностям: тяжелые среды — отсадка, вариант А; отсадка — отсадка, вариант Б; тяжелые среды — отсадка среды, вариант В; отсадка — тяжелые среды, вариант Г. Первый указан процесс обогащения угля крупностью 13—100 мм. Выделение промпродукта не предусматривается.

Использованными для имитационного моделирования являются результаты фракционного анализа явлений обогащения углей шахты «Инскай» (табл. 1). Вычисление практических балансов продуктов обогащения проводилось на микро-ЭВМ «Электроника ДЭ-28», по специально разработанной программе. Особенность этой программы состоит в следующем. В качестве независимой переменной принята элементарная зольность разделения λ , позволяющая определить

шать задачи с позиций правила максимального выхода. Программа осуществляет кусочно-линейную аппроксимацию табличных значений фракционного анализа, отыскивает интервал, в который попадает заданное значение λ , делит его на составляющие части и на основании практических значений критерия $E_{\text{им}}$ вычисляет извлечение фракций в продукты разделения и качество этих продуктов.



Зависимость выхода (1, 2) и зольности (3, 4) концентрата от элементарной зольности разделения при обогащении угля крупностью 13—100 мм (1) и 1—13 мм (2) в отсадочной машине (1, 3) и также досреднем сепараторе (2, 4).

Связь между выходом концентрата и значением λ можно использовать полиномом вида

$$y = a_0 + a_1 x$$

Зависимость зольности концентрата от λ носит более сложный характер. Для ее описания необходимо использовать полином шестой степени

$$y = a_0 + a_1x + a_2x^2. \quad (2)$$

Для каждой технологической операции определялись коэффициенты a_i уравнений (1), (2) и проводилась оценка точности полученных математических моделей. Коэффициент корреляции (коррелионное отношение) всех найденных зависимостей находится в пределах $\eta = 0,993 - 0,999$, что свидетельствует о достаточно точном описании технологических операций. Доверительный интервал для вычисления средних значений зольности концентрата с вероятностью не превышает $\pm 0,045\%$, для выхода концентрата — изменяется в пределах $\pm 0,024... \pm 0,042\%$.

Полученные математические модели технологических операций имеют следующий вид:

для обогащения угля крупностью 13—100 мм в отсадочной машине

$$\begin{cases} y_1 = 24,50 + 0,017\lambda; \\ A_1^d = 2,51 + 88 \cdot 10^{-4}\lambda + 2,8 \cdot 10^{-4}\lambda^2; \end{cases} \quad (3)$$

для обогащения угля крупностью 13—100 мм в тяжелосреднем сепараторе

$$\begin{cases} y_2 = 24,73 + 0,010\lambda; \\ A_2^d = 2,49 + 141 \cdot 10^{-4}\lambda + 0,2 \cdot 10^{-4}\lambda^2; \end{cases} \quad (4)$$

для обогащения угля крупностью 1—13 мм в отсадочной машине

$$\begin{cases} y_3 = 37,78 + 0,44\lambda; \\ A_3^d = 2,56 + 32 \cdot 10^{-4}\lambda + 6 \cdot 10^{-4}\lambda^2; \end{cases} \quad (5)$$

для обогащения угля крупностью 1—13 мм в тяжелосреднем сепараторе

$$\begin{cases} y_4 = 38,39 + 0,025\lambda; \\ A_4^d = 2,66 + 17 \cdot 10^{-4}\lambda + 2,7 \cdot 10^{-4}\lambda^2. \end{cases} \quad (6)$$

На основании уравнений (3) — (6) можно описать все четыре варианта рассматриваемых технологических схем гравитационного обогащения. Математическая модель $i + j$ -й схемы выражается следующим образом

$$\begin{cases} y_{i+j} = y_i + y_j; \\ A_{i+j}^d = (y_i A_i^d + y_j A_j^d) / y_{i+j}. \end{cases} \quad (7)$$

Подставляя выражения (3) — (6) в уравнения (7) и проводя соответствующие преобразования, получаем математические модели вида

$$\begin{cases} y = a + b\lambda; \\ A^d = (c + d\lambda + e\lambda^2 + f\lambda^3)/\eta. \end{cases} \quad (8)$$

Значения коэффициентов для каждого варианта приведены в табл. 2.

Используя эти модели, можно рассчитать показатели разделения по каждой технологической схеме. Полученные результаты будут обеспечивать максимальный выход гравитационного концентрата при заданной его зольности. Подставляя значение элементарной зольности разделения, соответствующее заданной A^d концентрата, в выражения (3) — (6), можно так же вычислить показатели продуктов обогащения по отдельным машинам классам. Так, при обогащении по варианту Б выход суммарного концентрата зольности

Таблица 2

Вариант	Значения коэффициентов					
	a	$b \cdot 10^{-2}$	c	$d \cdot 10^{-1}$	$e \cdot 10^{-2}$	$f \cdot 10^{-5}$
A	65,51	5,4	158,30	6,1	2,32	3,0
B	63,28	6,1	158,22	4,9	2,99	3,0
C	63,12	3,5	163,70	5,1	1,10	0,7
D	62,89	4,2	163,62	3,9	1,76	1,0

зольность 4 составляет 65,33 %. Зольность и выход концентрата класса 13—100 мм будут соответственно 3,64 и 25,35 %. Полученные зависимости (8) между выходом конечного продукта обогащения и его качеством позволяют оценить приведенные затраты на приготовление 1 т твердой фазы нового вида топлива по каждой технологической схеме. Экономический анализ всех видов затрат, связанных с приготовлением, транспортированием и сжиганием ВВУС, показал, что для углей шахты «Инская» оптимальным является обогащение варианту Б с получением концентрата зольностью 4,6 %. Низкое содержание органического вещества в отходах обогащения ($A_0^d = 80,2\%$) делает их пригодными для использования в качестве сырья в стройиндустрии.

Поступила в редакцию 19.02.88.

УДК 622.94.3.002.2

Н. А. МАЛЕЦКИЙ, Т. А. ВЕНЕТУЛИС, кандидаты техн. наук

Расчет и оптимизация использования производственной мощности обогатительной фабрики

Обоснование объема производства обогатительной фабрики (ОФ) требует предварительного расчета ее производственной мощности и уровня использования. Пропорциональная совокупность средств труда подразделений ОФ определяет ее производственную мощность — максимально возможный годовой (суточный) выпуск продукции в